

ИССЛЕДОВАНИЕ НАГРЕВА НЕЙТРАЛЬНОЙ КОМПОНЕНТЫ ПЛАЗМЫ ВЫСОКОЧАСТОТНОГО ЕМКОСТНОГО РАЗРЯДА В АТМОСФЕРЕ N₂ И СМЕСЯХ N₂ С ГЕЛИЕМ

В.В.Ажаронок, И.И.Филатова, В.Д.Шиманович, Л.Н.Орлов*,
Я.И.Некрашевич*

Институт молекулярной и атомной физики АНБ

**Институт физики АНБ*

220072, Минск, пр. Ф. Скарины, 70, Беларусь

E-mail: imafbel%bas05.basnet.minsk.by@demos.su

Abstract. The gase temperature fields of N₂ and N₂+He plasma of HF-discharge at a low pressure was investigated by the methods of emission spectroscopy. The gase temperature evolution was studied depending on chemical composition and pressure of working mixture. Main channels of heating of plasma's neutral component was determined.

1. ВВЕДЕНИЕ.

Плазма высокочастотного емкостного разряда является перспективной рабочей средой CO₂ и CO-лазеров, устройств ионно-плазменной модификации поверхности материалов, плазмохимического синтеза новых типов веществ и соединений. Эффективность аккумулирования энергии электрического поля в электронных, колебательных и вращательных степенях свободы частиц генерируемой ВЧ-плазмы, а также скорость протекающих в ней плазмохимических реакций во многом зависят от потерь подводимой к разряду электрической мощности на нагрев нейтральной компоненты плазмы. Исследования процессов диссипации в тепло вкладываемой в ВЧ-разряд мощности практически отсутствуют (Райзер и др., 1995). Настоящая работа посвящена исследованию полей газовой температуры в межэлектродном промежутке ВЧ-разряда в смесях молекулярных и атомных газов и выяснению наиболее вероятных каналов диссипации подводимой к разряду электрической энергии в тепловую.

2. ЭКСПЕРИМЕНТ

Исследуемый высокочастотный емкостной разряд возбуждался на частоте 81 Мгц между двумя изолированными плоскими алюминиевыми электродами прямоугольной формы площадью 20 см², расположенными параллельно друг другу на расстоянии L=3 мм. Одна из пластин электродной системы была заземлена. ВЧ-напряжение подавалось на

незаземленный электрод. В качестве рабочих газов использовались азот, гелий и их смеси при давлениях от 1 до 20 Торр. Регистрация спектров излучения плазмы осуществлялась с помощью дифракционного монохроматора в диапазоне длин волн $\Delta\lambda=250 - 700$ нм с разрешением по спектру $\delta\lambda \sim 0,001$ нм. Пространственное разрешение δL составляло $\sim 0,1$ мм. Температура нейтральной компоненты T_g плазмы определялась по относительным интенсивностям вращательных линий $I_{j'j''}$ в спектрах излучения электронно-колебательных полос молекул азота.

3. РЕЗУЛЬТАТЫ И ОБСУЖДЕНИЕ

В исследуемом диапазоне $\Delta\lambda$ спектры излучения плазмы разряда в чистом азоте представлены преимущественно полосами второй положительной ($2+$) и первой ($1+$) положительной систем N_2 , первой отрицательной ($1-$) системы N_2 , а также слабоинтенсивными полосами молекул примесей (β - и γ -системы NO, интенсивная система OH с $\lambda = 3064$ Å, β -система BO). В смесях N_2+He наблюдаются также интенсивные линии атомов водорода и гелия. В качестве пиromетрических использовались свободные от переналожения с другими излучающими компонентами плазмы полосы секвенций $V-V' = -0-3$, $0-2$ и $0-1$ $2+$ системы N_2 . Линейный характер зависимости измеренных величин $\ln(I/S)_{jj''}$ ($S_{jj''}$ - факторы Хенля-Лондона) от энергии вращательных уровней $j'(j'+1)$ в исследуемых молекулярных полосах свидетельствует о больцмановском распределении по уровням j' молекул N_2 в состоянии $C^3\Pi_u$ с вращательной температурой T_{rot} (рис.1).

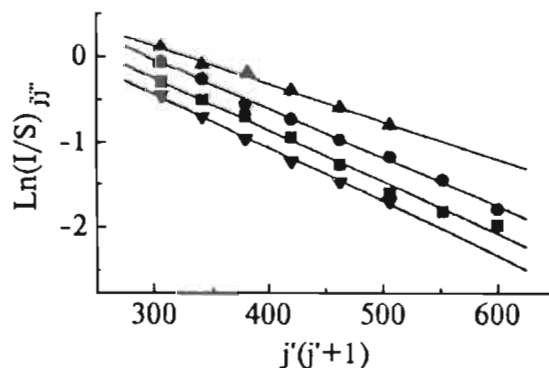


Рис. 1. Зависимость $\ln(I/S)_{jj''}$ от $j'(j'+1)$ в полосах $2+$ системы молекулы N_2 : $T_{rot} = 400$ (∇); 420 (\blacksquare); 450 (\bullet); 500 К (\blacktriangle).

Возможность отождествления T_{rot} с T_g следует из соотношения времен жизни (τ_c) возбужденного электронного состояния $C^3\Pi$ молекулы N_2 с учетом его тушения при межмолекулярном взаимодействии и времен вращательной R-T-релаксации (τ_{RT}) N_2 в состоянии $C^3\Pi$: $\tau_c/\tau_{\text{RT}} > 5$ (Ажаронок и др., 1991). Измеренные распределения температуры $T_g(L)$ в разряде в чистом N_2 при $P=1-20$ Торр и в смеси $N_2:\text{He} = 1:10$ ($P=11$ Торр) приведены на рис. 2.

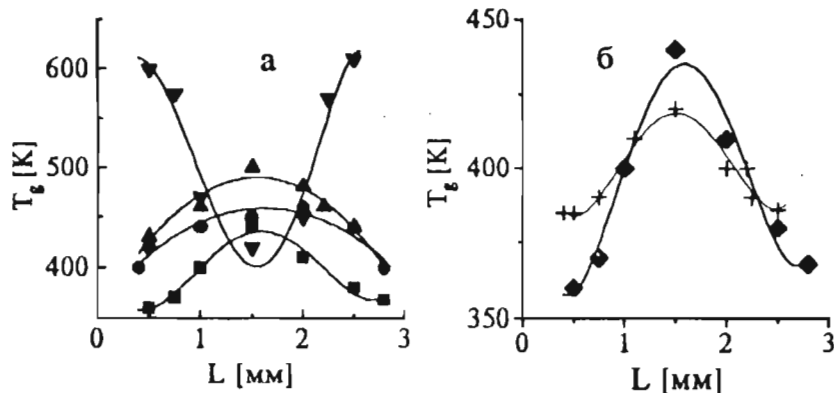


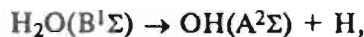
Рис. 2. Распределение температуры T_g вдоль межэлектродного промежутка: а - чистый N_2 , $P = 1$ Торр (■), 5 Торр (●), 10 Торр (▲), 20 Торр (▼); б - смесь $N_2:\text{He}=1:10$, $P=11$ Торр (+), 1 Торр (◆-чистый N_2).

В разряде в чистом азоте при $P \leq 10$ Торр максимум температуры наблюдается в центральной зоне $L_{\text{ц}}$ межэлектродного промежутка (рис.2, а). С увеличением давления от 1 до 10 Торр температура в центре РК возрастает от 430 до 500 К. При этом значение T_g вблизи электродов практически не изменяется и не превышает 400 К. Дальнейшее увеличение давления азота в РК до 20 Торр приводит к существенной трансформации распределения $T_g(L)$: в области $L_{\text{ц}}$ температура снижается до ~400 К, а максимальные значения $T_g \sim 600$ К наблюдаются в зонах, граничащих с приэлектродными слоями L_3 , нескомпенсированного пространственного заряда. При добавлении к азоту гелия распределение $T_g(L)$ и абсолютные значения T_g практически не изменяются (рис.2, б). В исследуемом диапазоне давлений профили $T_g(L)$ и $I(L)$ подобны: наибольшие значения температуры наблюдаются в зонах с максимальной интенсивностью свечения I^{max} . Из расчета баланса энергии электронов в

плазме газового разряда в чистом азоте установлено, что в условиях, подобных реализующимся в исследуемом разряде (приведенная напряженность электрического поля $E/N \sim (5-6) \cdot 10^{16} \text{ В} \cdot \text{см}^2$), до 50% вкладываемой в разряд электрической энергии W расходуется на возбуждение колебательных уровней молекул N_2 в основном электронном состоянии $X^1\Sigma$ (Lovke и др., 1973). Другая часть энергии W тратится на электронное возбуждение, ионизацию и диссоциацию молекул. Доминирующим среди этих процессов является возбуждение молекул N_2 в состояния $C^3\Pi$, $B^3\Pi$ и $A^3\Sigma$ (Zhang и др., 1993). Разрушение состояний $B^3\Pi$ и $C^3\Pi$ при давлениях 1-10 Торр осуществляется главным образом путем радиационного распада с излучением светового кванта, а дезактивация метастабилей $A^3\Sigma$ происходит в основном в результате парных столкновений



相伴的放热现象（Сопровождающиеся выделением в тепло энергии ΔE (Словецкий, 1980). Таким образом, регистрируемое в зонах с $I_{\text{max}}^{\text{max}}$ (примыкающих к приэлектродным слоям L_3) значительное повышение температуры нейтральной компоненты плазмы связано, наряду с дезактивацией колебательных состояний N_2 (X , V'), с процессами самотушения молекул N_2 в метастабильном состоянии $A^3\Sigma$. Существенный вклад в нагрев плазмы при наличии в РК примеси молекул H_2O могут дать также процессы образования радикалов гидроксила OH



протекающие через возбужденное электронное состояние $H_2O(B^1\Sigma)$, которое обладает избытком деформационной колебательной энергии, частично выделяющейся в тепло (Очкин и др., 1985).

Литература

- Ажаронок В.В., Антипов Е.С., Скутов Д.К., Филатова И.И., Чубрик Н.И.,
Шиманович В.Д.: 1991, Термофизика высоких температур, 29, 401.
Очкин В.Н., Савинов С.Ю., Соболев Н.И.: 1985, Труды ФИАН, 157, 6.
Райзер Ю.П., Шнейдер М.Н., Яценко Н.А.: 1995, "Высокочастотный
емкостной разряд", Наука: Физматлит, Москва.
Словецкий Д.И.: 1980, "Механизмы химических реакций в неравновесной
плазме", Наука, Москва.
Lovke I.I., Phelps A.V.: 1973, J.Appl.Phys., 44, 4664.
Zhang X.S., Baker H.J., Hall D.R.: 1993, 26, 359.